



Сибирское отделение Российской Академии наук
ИНСТИТУТ ЯДЕРНОЙ ФИЗИКИ им.Г.И. Будкера

Б.43

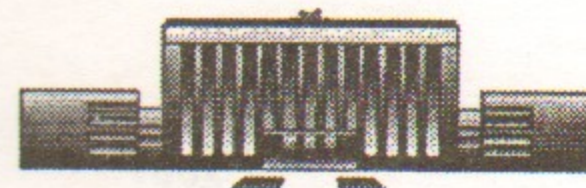
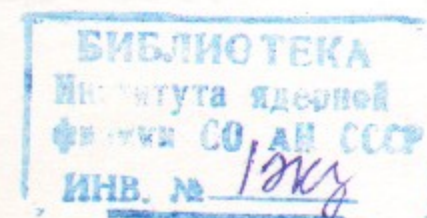
1998

В.С. Белкин, В.Г. Соколов, Ю.С. Храмов

ТОМОГРАФИЧЕСКОЕ ВОССТАНОВЛЕНИЕ
ЭЛЕКТРОННОЙ ТЕМПЕРАТУРЫ ПЛАЗМЫ
ПО ИЗЛУЧЕНИЮ ЛИНИИ H_{α}
НА УСТАНОВКЕ АМБАЛ-М

ИЯФ 98-35

<http://www.inp.nsk.su/publications>



НОВОСИБИРСК

1998

Томографическое восстановление электронной температуры плазмы по излучению линии H_α на установке АМБАЛ-М

В. С. Белкин, В. Г. Соколов, Ю. С. Храмов

ИЯФ им. Г. И. Будкера, 630090 Новосибирск, Россия

Аннотация

Стартовая плазма в концевом пробкотроне установки АМБАЛ-М характеризуется следующими параметрами: плотность $n_e \sim 10^{13} \text{ см}^{-3}$, ионная температура $T_i \sim 250 \text{ эВ}$, электронная температура $T_e \sim 10 \div 50 \text{ эВ}$.

Предлагается томографический метод определения радиального профиля электронной температуры по реконструкции из хордовых измерений интегральной интенсивности излучения линии H_α (656.3 нм), основанный на зависимости коэффициента эмиссии этой линии от T_e в диапазоне $10 \div 80 \text{ эВ}$.

Метод позволяет проследить эволюцию профиля электронной температуры и может служить относительно удобным монитором профиля T_e .

Tomography Reconstruction of Electron Temperature by H_α Intensity Measurement on the AMBAL-M Machine

V. S. Belkin, V. G. Sokolov, Yu. S. Khramov

Budker Institute of Nuclear Physics, 630090 Novosibirsk, Russia

Abstract

The initial plasma in the end mirror of the AMBAL-M machine is characterised by the following parameters: density $n_e \sim 10^{13} \text{ cm}^{-3}$, ion temperature $T_i \sim 250 \text{ eV}$, electron temperature $T_e \sim 10 \div 50 \text{ eV}$.

The tomographic method of electron temperature radial profile reconstruction through the H_α -line intensity measurement is suggested. This approach is based on the T_e dependence on line emission coefficient in range $10 \div 80 \text{ eV}$.

This method makes possible to examine the electron temperature radial profile evolution and may be used for T_e profile monitoring.

© Институт ядерной физики им. Г. И. Будкера СО РАН

Введение

В плазменном эксперименте важно знание радиального распределения электронной температуры $T_e(r)$ в различные моменты времени. Для определения T_e существуют традиционные способы: зондовые измерения, томсоновское рассеяние и т. п. [1].

В настоящей работе радиальный профиль электронной температуры плазмы определяется по 16-ти хордовым измерениям интенсивности излучения линии H_α . Метод основан на зависимости локального коэффициента эмиссии плазмы ϵ на линии H_α от T_e [2]:

$$\epsilon \sim n_e \cdot n_a \cdot \alpha(T_e).$$

Здесь n_e — плотность электронов плазмы, n_a — плотность нейтральных атомов, $\alpha(T_e)$ — табулированная [3,4] функция электронной температуры, которая зависит от T_e в диапазоне $10 \div 80 \text{ эВ}$ (см рис. 1). Т. о., зная n_e , n_a и ϵ и имея одну точку с известной T_e в качестве привязки, можно определить радиальный профиль $T_e(r)$. В данной работе $n_e(r)$ полагаем известным из зондовых измерений [5], $n_a(r)$ оцениваем по измерениям давления H_2 у границы плазмы, а ϵ восстанавливаем томографическим методом из измерений интегральной интенсивности излучения плазмы I на линии H_α . В качестве привязки по T_e используются зондовые измерения на границе плазмы.

Излучение плазмы на линии H_α

В центральной плоскости концевой пробкотрона установки АМБАЛ-М [5] параметры стартовой плазмы следующие: диаметр $d \sim 20 \text{ см}$, плотность $n_e \sim 10^{13} \text{ см}^{-3}$, ионная температура $T_i \sim 250 \text{ эВ}$, электронная температура $T_e \sim 10 \div 50 \text{ эВ}$, давление остаточного молекулярного водорода на границе камеры $p(H_2) \sim 10^6 \text{ торр}$; время работы источника плазмы $t \sim 2 \text{ мс}$.

Такая плазма описывается корональной моделью [1] и прозрачна для излучения H_α . Коэффициент эмиссии линии H_α [2]:

$$\epsilon = \frac{h\nu}{4\pi} n_e n_a \alpha(T_e) \cdot \frac{A_{23}}{A_{13} + A_{23}} \sim n_e n_a \alpha(T_e),$$

где A_{ji} — коэффициенты Эйнштейна спектральной линии $j \rightarrow i$.

Функция $\alpha(T_e)$ для указанных параметров приведена на рис. 1 [3,4].

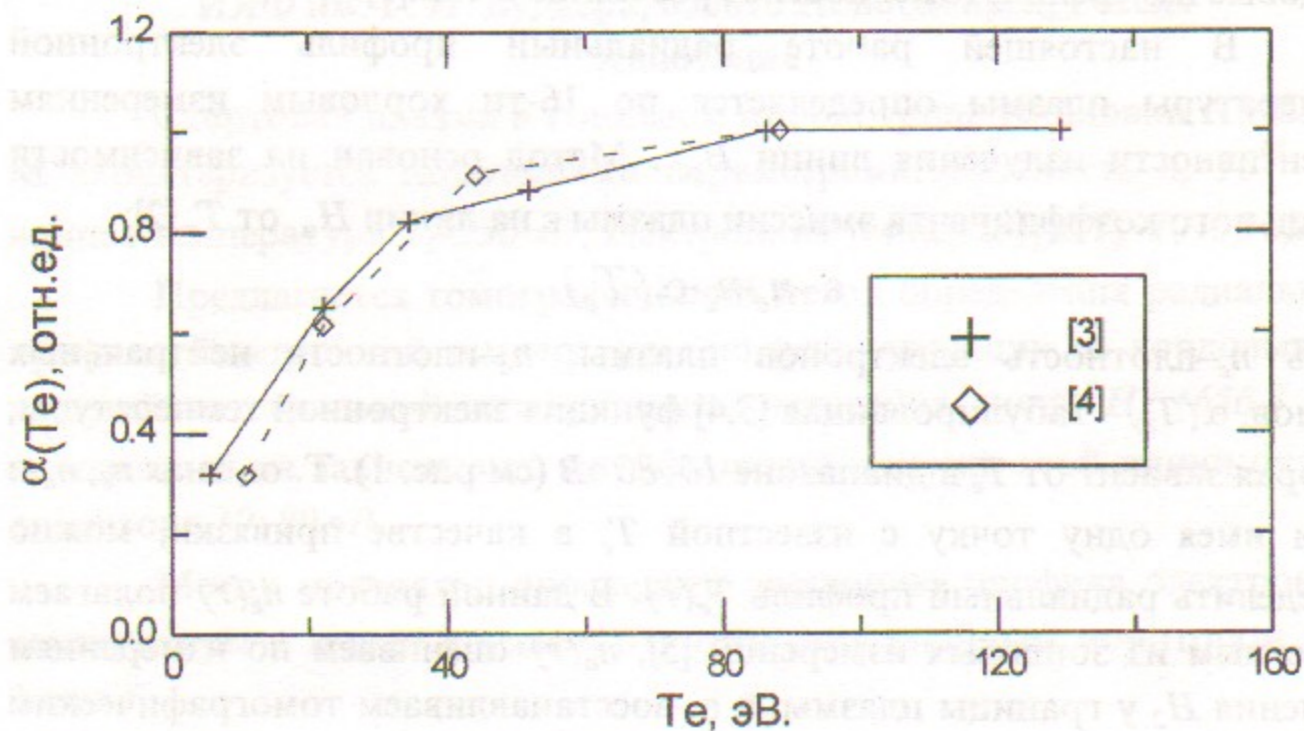


Рис. 1. Функция $\alpha(T_e)$

Плотность плазмы полагаем известной [5]. Плотность нейтральных атомов может быть оценена из следующей модели. Основным источником нейтральных атомов водорода при указанных условиях служит остаточный молекулярный водород. При наших параметрах плазмы по известным скоростям реакций [6] получаем, что молекула на расстояниях ~ 1 см от внешней границы плазмы диссоциирует на два атома с энергиями $\sim 2-4$ эВ, которые на расстояниях ~ 3 см перезаряжаются на горячих ионах плазмы, после чего их длина свободного пробега становится значительно больше диаметра плазмы. Т.о., на расстояниях ≥ 3 см от внешней границы плазма заполнена атомами практически однородно, причем $n_a \sim 10^7-10^8$ см $^{-3}$.

Эмиссионная томография осесимметричных объектов

Радиальный профиль $T_e(r)$ определяется по $\epsilon(r)$. Для определения $\epsilon(r)$ проводится томографическая обработка хордовых измерений интегральной интенсивности линии H_α .

Уравнение переноса излучения [1]:

$$\frac{dI(l)}{dl} = \epsilon(l) + \kappa(l)I(l),$$

где $I(l)$ — интенсивность излучения линии H_α , d/dl — производная вдоль направления переноса излучения, ϵ , κ — локальные коэффициенты эмиссии и абсорбции плазмы для линии H_α . В случае осесимметричной оптически тонкой плазмы интегральное излучение хорды с координатой x :

$$I(x) = 2 \int_x^R \frac{\epsilon(r)r dr}{\sqrt{r^2 - x^2}} \quad (1)$$

где R — радиус плазмы, $x=0$ соответствует центру плазмы. Уравнение (1) представляет собой известное уравнение Абеля [1,2,7]. Решив его, можно определить $\epsilon(r)$ по известной $I(x)$.

Решение уравнения Абеля (при условии $I(R)=0$) имеет вид:

$$\epsilon(r) = -\frac{1}{\pi} \int_r^R \frac{dI}{dx} \frac{1}{\sqrt{x^2 - r^2}} dx. \quad (2)$$

Обращение уравнения Абеля является некорректной задачей, т.к. требует дифференцирования функции $I(x)$, известной из эксперимента в дискретных значениях координаты x и содержащей шум измерения. Проинтегрировав (2) по частям, получим:

$$\epsilon(r) = -\frac{1}{\pi} \left[\frac{I(r)}{\sqrt{R^2 - r^2}} - \int_r^R \frac{x[I(x) - I(r)]}{(x^2 - r^2)^{3/2}} dx \right]. \quad (3)$$

Подынтегральная функция при $x=r$ есть неопределенность типа $0/0$. Можно раскрыть эту неопределенность и получить регуляризованное

решение уравнения (1), интерполируя функцию $I(x)$ сглаживающим кубическим сплайном [7].

Для исследования возможности реализации предлагаемого метода определения $T_e(r)$ в численном эксперименте определялась чувствительность алгоритма абелевой инверсии к шумам измерений. Задавались модельные функции (как в работе [7]):

$$\varepsilon(r) = 17r^4 - 32r^3 + 14r^2 + 1 \text{ и } \varepsilon(r) = (1-r^2)^2 + [1 - (2r-1)^2]^2.$$

По ним вычислялась функция $I(x)$, на которую накладывался случайный шум с нулевым средним и заданной дисперсией. Затем решалось уравнение Абеля по формуле (3) и вычислялось отклонение восстановленной функции от модельной. В силу большой чувствительности алгоритма к ошибкам в центре отдельно вычислялось отклонение при $x/R \leq 0.1$ (в центре) и при $x/R > 0.1$ (на периферии), R — радиус плазмы. Было проведено по 5 экспериментов для каждой модельной функции и для различного уровня шума; максимальное отклонение для каждого шума усреднялось по 10 экспериментам. Результаты вычислительного эксперимента представлены в таблице. Здесь δ_p и δ_c — усредненные максимальные отклонения восстановленной функции от модельной на периферии и в центре соответственно.

Шум, %	0	1	3	5	10
$\delta_p, \%$	1	3	6	12	20
$\delta_c, \%$	4	6	13	20	36

Схема регистрации. Обработка экспериментальных данных

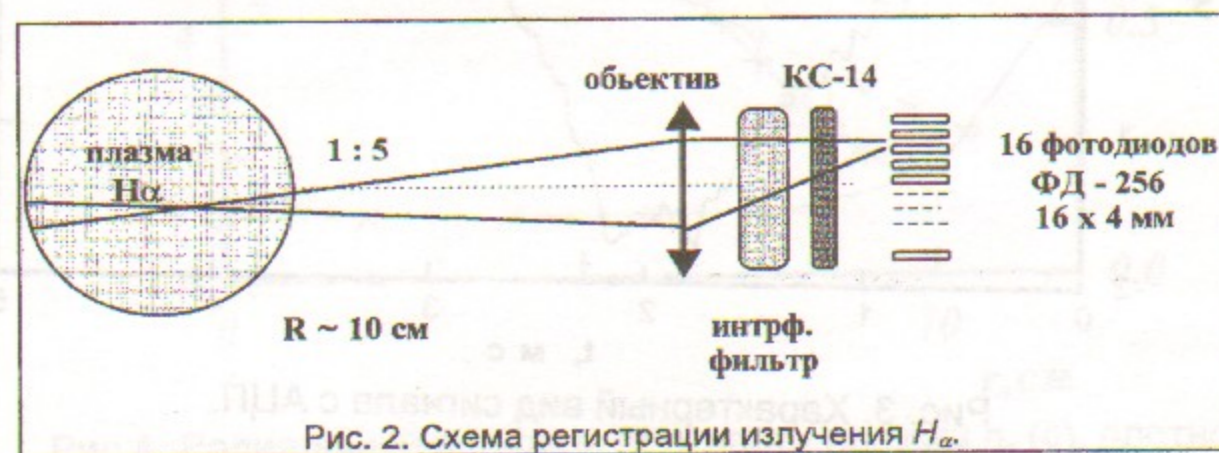


Рис. 2. Схема регистрации излучения H_α .

В эксперименте $I(H_\alpha)$ измерялась следующим образом (рис 2). Излучение плазмы проходит через оптическую систему с коэффициентом уменьшения 1:5. Линия H_α выделяется красным светофильтром КС-14 и интерференционным фильтром. Излучение регистрируется с помощью системы из 16 фотодиодов, расположенных в линию с шагом 4 мм, т. о., получаем дискретность хордовых измерений по плазме 2 см. В качестве светочувствительных элементов используются фотодиоды ФД-256. При диаметре корпуса 3,9 мм эффективная площадь $\approx 5 \text{ мм}^2$, темновой ток при комнатной температуре $\sim 10 \text{ нА}$, емкость при обратном смещении 12 В около 10 пФ, быстродействие $\leq 10 \text{ мкс}$. Разброс чувствительности от экземпляра к экземпляру не превышает 10%. Усилитель каждого диода двухкаскадный, входное сопротивление 1 МОм, коэффициент усиления может быть 50, 250 или 2500, полоса частот $f_{0,7} = 30 \text{ кГц}$. Усилители собраны в одном блоке с линейкой из 16 фотодиодов. Приведенный ко входу шум усилителя, выраженный в виде параллельного генератора шумового тока, составляет $J_{ш} \sim 10 \text{ нА}$, что при чувствительности $\sim 0,25 \text{ А/Вт}$ дает эквивалентный шум светового потока $4 \cdot 10^{11} \text{ Вт}$. При необходимости уровень шума в той же полосе частот может быть снижен в 3÷4 раза за счет увеличения R_{ex} в 10÷20 раз и введения частотной

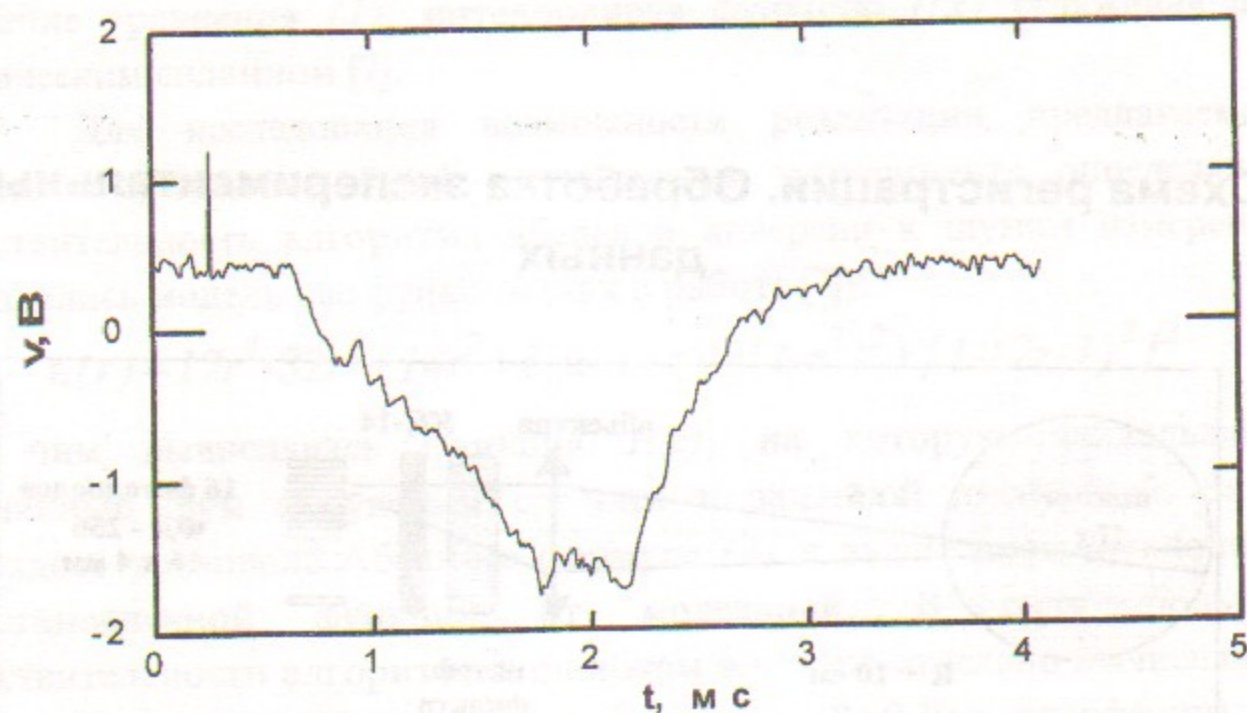


Рис. 3. Характерный вид сигнала с АЦП.

коррекции на выходе усилителя, либо при том же уровне шума полоса частот может быть расширена до 100 кГц .

Данные оцифровываются с помощью двух АЦП, дискретность опроса каждого канала 8 мкс . Калибровка всего измерительного тракта (входное окно—объектив—фильтры—фотодиоды—усилители—АЦП) каждого из 16 каналов производится с помощью специальной лампы.

Снятые с АЦП данные представляют собой 16 осциллограмм (рис. 3). Шум измерения не превышает 5% от максимальной амплитуды сигнала.

Полученные осциллограммы в первую очередь очищаются от явно аномальных погрешностей аппаратуры (напр., пик на 0.3 мс на рис. 3). Затем данные сглаживаются по времени посредством вырезания гармоник с частотой $> 5 \text{ кГц}$. После этого в каждый момент времени t значение интенсивности излучения на данном расстоянии от центра принимается равным полусумме двух равноотстоящих от центра данных, т. е. экспериментальные данные симметризируются относительно центра плазмы. Затем восстанавливается локальный коэффициент эмиссии $\varepsilon(r)$ для данного времени t методом, описанным в приложении, причем уровень шума принимается равным 5% от максимального сигнала.

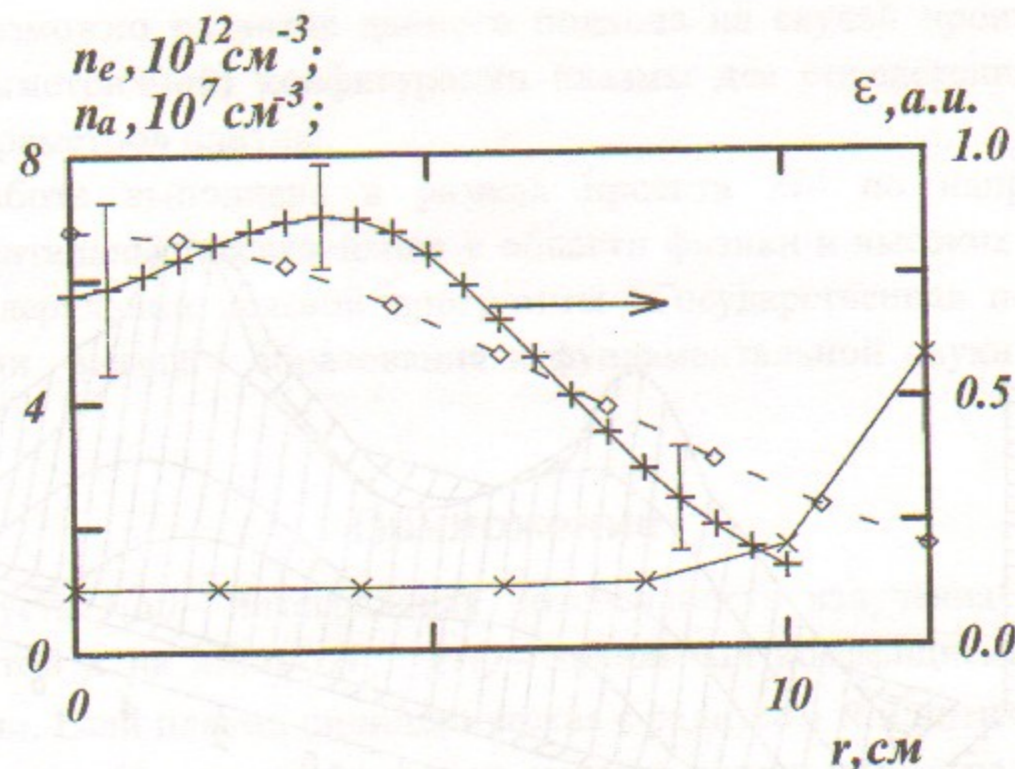


Рис. 4. Радиальный профиль плотности плазмы n_e (\diamond), плотности нейтральных атомов n_a (\times) и локального коэффициента эмиссии линии H_α ε ($+$). Выстрел № 16 от 5.03.97. $t=1920 \text{ мкс}$.

Разделив $\varepsilon(r)$ на $n_e(r)$, получим функцию $X(r)=n_a(r)\cdot\alpha(T_e)\sim\alpha(T_e)$. При n_e и n_a , характерных для центральной плоскости пробкотрона установки АМБАЛ-М, зависимость $\alpha(T_e)$ изображена на рис. 1.

Временная эволюция $\varepsilon(r)$ позволяет судить о временной эволюции $T_e(r)$, если известна зависимость $n_e(t)$.

Характерные экспериментальные результаты приведены на рис. 4, 5. Рис. 4 отражает профиль коэффициента эмиссии плазмы на линии H_α , восстановленный из хордовых измерений с помощью томографического метода, описанного в приложении. Также на рис. 4 приведены радиальный профиль плотности плазмы n_e [5] и оценки профиля плотности атомов n_a . На рис. 5 приведена временная эволюция электронной температуры T_e . Привязка сделана по $\text{max } T_e \approx 50 \text{ эВ}$ на $r=5 \text{ см}$. Эта величина взята по линейной интерполяции значений T_e во входной и выходной пробках ($z=\pm 116 \text{ см}$), известных из зондовых измерений [8].

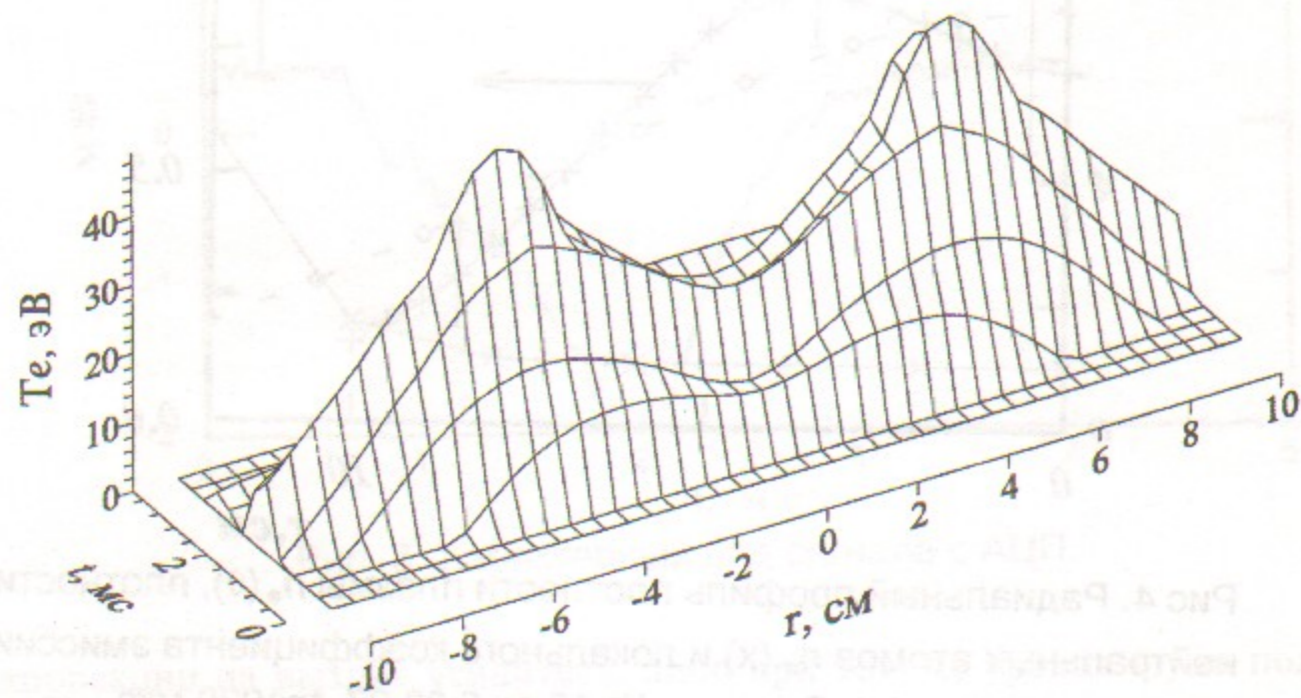


Рис. 5. Электронная температура. Выстрел № 16 от 5.03.97.

Результаты

В настоящей работе реализован томографический метод определения электронной температуры по интенсивности излучения линии H_{α} . Применение этой диагностики позволяет бесконтактно измерить профиль электронной температуры с достаточным временным разрешением. Для обработки экспериментальных данных применено пространственно-временное сглаживание: фурье-фильтрация по времени и пространственное сглаживание с помощью регуляризирующего кубического сплайна с последующей абелевой инверсией.

Полученные результаты находятся в согласии с данными других диагностик и с теоретическими моделями. [5, 8]

Реализованный алгоритм инверсии Абеля с использованием кубического регуляризирующего сплайна может найти применение также в диагностических методах, где требуется восстановление локальных характеристик по хордовым.

Возможно развитие данного подхода на случай произвольной (не осесимметричной) конфигурации плазмы для определения T_e или других параметров плазмы.

Работа выполнена в рамках проекта 274 по направлению "Фундаментальные исследования в области физики и высоких технологий" Федеральной целевой программы "Государственная поддержка интеграции высшего образования и фундаментальной науки на 1997-2000 годы".

Приложение

Пусть $f(x)$ – интегральная интенсивность излучения¹ хорды с координатой x на линии H_{α} , $g(r)$ – локальный коэффициент эмиссии этой линии. Если плазма цилиндрическая с радиусом R и оптически тонкая для линии H_{α} , то коэффициент эмиссии связан с интегральной интенсивностью обратным преобразованием Абеля [1]:

$$g(r) = -\frac{1}{\pi} \int_r^R \frac{f'(x) dx}{\sqrt{x^2 - r^2}}. \quad (П1)$$

Проинтегрировав (П1) по частям, получим

$$g(r) = -\frac{1}{\pi} \left[\frac{f(r)}{\sqrt{R^2 - r^2}} - \int_r^R \frac{x[f(x) - f(r)]}{(x^2 - r^2)^{3/2}} dx \right] \quad (П2)$$

Обратное преобразование Абеля (П1), (П2) – некорректная задача. Можно получить устойчивое решение, используя сплайновую аппроксимацию функции $f(x)$.

Пусть функция $f(x)$ задана измеренными в узлах $x_i \in [0, R]$ значениями $F_i = f(x_i) + \xi_i$, $i=0, \dots, n$, $x_0=0$, $x_n=R$; вектор шума ξ имеет нулевое среднее, σ_i – дисперсия шума i -го измерения: $\sigma_i = M[\xi_i^2]$, $M[\cdot]$ – математическое ожидание по ансамблю случайных векторов F . Выберем в качестве сглаживающего сплайна функцию $\phi(x)$, минимизирующую функционал [7]:

¹ В приложении рассматривается решение уравнения Абеля с помощью регуляризирующего кубического сплайна. Обозначения приложения оставлены как в [7]. Переход к вышеиспользованным обозначениям основной части работы осуществляется заменой $f \rightarrow I$, $g \rightarrow \epsilon$.

$$M_\alpha[\phi] = \alpha \int_0^R |\phi''(x)|^2 dx + \sum_{i=0}^n \frac{[F_i - \phi(x_i)]^2}{\sigma_i^2}, \quad (\text{ПЗ})$$

где $\alpha \geq 0$ – параметр сглаживания. Требования совпадения сглаживающего сплайна с интерполяционным при $\alpha=0$, условие минимизации функционала (ПЗ) и граничные условия $f(0)=0$, $f(B)=0$ позволяют определить коэффициенты сплайна при заданном α . Параметр сглаживания находится с помощью итерационной процедуры с использованием принципа невязки: выбираем α таким, чтобы норма невязки между исходными данными F_i и значениями сплайна $S(x_i)$

$$r_W = \sum_{i=0}^n \frac{F_i[F_i - S(x_i)]}{\sigma_i^2}$$

подчинялась χ^2 -распределению с $(n+1)$ степенями свободы. Алгоритм определения коэффициентов сплайна и параметра сглаживания α приведен в [7], §4–8.

Подынтегральная функция в (П2) в нижнем пределе есть неопределенность $0/0$. Используя кубический сплайн

$$S(x) = a_i + b_i(x-x_i) + c_i(x-x_i)^2 + d_i(x-x_i)^3, \quad x_i \leq x < x_{i+1},$$

можно представить интеграл в (2) в виде:

$$\int_r^{x_m} \frac{x[S(x) - S(r)]}{(x^2 - r^2)^{3/2}} dx + \sum_{i=m}^{n-1} \int_{x_i}^{x_{i+1}} \frac{x[S(x) - S(r)]}{(x^2 - r^2)^{3/2}} dx \quad (\text{П4})$$

где $x_{m-1} \leq r < x_m$. Первый интеграл можно записать в виде несобственного сходящегося интеграла, таким образом раскрыв неопределенность. Зная коэффициенты сплайна, интегралы в (П4) легко вычислить аналитически. Тогда [7]:

$$g(r) = -\frac{1}{\pi} \left[\frac{S(R) - S(r)}{\sqrt{R^2 - r^2}} + I_1(r) + I_2(r) \right], \quad (\text{П5})$$

$$I_1(r) = \sum_{i=1}^3 A_i I_i^A(r, x_m),$$

$$I_1^A(r, x) = a_{11}(r, x) - a_{12}(r, x)$$

$$I_2^A(r, x) = a_{21}(r, x) - r a_{11}(r, x) + r a_{12}(r, x)$$

$$I_3^A(r, x) = \left(\frac{1}{2}x - r\right) a_{21}(r, x) - r^2 a_{12}(r, x) + \frac{3}{2} r^2 a_{11}(r, x)$$

$$a_{11}(r, x) = \ln \left| x + \sqrt{x^2 - r^2} \right| - \ln |r|$$

$$a_{12}(r, x) = \sqrt{\frac{x-r}{x+r}} \quad a_{21}(r, x) = \sqrt{x^2 - r^2}$$

$$A_1 = b_{m-1} + c_{m-1}(r - 2x_{m-1}) + d_{m-1}(r^2 + 3x_{m-1}^2 - 3rx_{m-1}),$$

$$A_2 = c_{m-1} + d_{m-1}(r - 3x_{m-1}), \quad A_3 = d_{m-1};$$

$$I_2(r) = \sum_{i=m}^{n-1} \sum_{j=1}^4 B_{ji} I_j^B(r, x_i, x_{i+1})$$

$$I_1^B(y, x_i, x_{i+1}) = \left[\frac{1}{b_{11}(y, x)} \right]_{x_i}^{x_{i+1}} \quad I_2^B(y, x_i, x_{i+1}) = \left[b_{21}(y, x) + \frac{x^2}{b_{11}(y, x)} \right]_{x_i}^{x_{i+1}}$$

$$I_3^B(y, x_i, x_{i+1}) = \left[-b_{11}(y, x) + \frac{y^2}{b_{11}(y, x)} \right]_{x_i}^{x_{i+1}}$$

$$I_4^B(y, x_i, x_{i+1}) = \left[-\frac{x b_{11}(y, x)}{2} + \frac{y^2 x}{b_{11}(y, x)} + \frac{3}{2} y^2 b_{21}(y, x) \right]_{x_i}^{x_{i+1}}$$

$$b_{11}(y, x) = -\sqrt{x^2 - y^2} \quad b_{21}(y, x) = \ln \left| x + \sqrt{x^2 + y^2} \right|$$

$$B_{1i} = a_i - S(y) - b_i x_i + c_i x_i^2 - d_i x_i^3 \quad B_{2i} = b_i - 2x_i c_i + 3d_i x_i^2$$

$$B_{3i} = c_i - 3x_i d_i \quad B_{4i} = d_i$$

Литература

1. Методы исследования плазмы. Под ред. В. М. Лохте-Хольтгрена. "Мир", 1971.
2. МакУиртер Р. Спектральные интенсивности. // Диагностика плазмы. Под ред. Р. Хаддлстоуна и С. М. Леонарда. "Мир", 1967.
3. Абрамов В. А., Кузнецов Э. И., Коган В. И. Расчет заселенностей уровней водорода и некоторые возможности диагностики высокотемпературной плазмы. // Атомная энергия, т. 26, вып. 6, 1969.
4. Johnson L. C., Hinnov E. Ionization, Recombination, and Population of Excited Levels in Hydrogen Plasmas. // JQSRT, v. 13, 1973.
5. Ахметов Т. Д. и др. Создание горячей стартовой плазмы в концевой системе АМБАЛ-М. // Физика плазмы, т. 23, № 11, 1997.
6. Лесняков Г. Г. Скорости реакций образования атомов и ионов в водороде и дейтерии. // ВАНТ, серия "Термоядерный синтез", 1980, вып. 1 (5).
7. Воскобойников Ю. Е., Преображенский Н. Г., Седельников А. И. Математическая обработка эксперимента в молекулярной газодинамике. Новосибирск, "Наука", 1984.
8. Кабанцев А. А., Рева В. Б., Соколов В. Г. Турбулентное динамо в открытых ловушках. Препринт ИЯФ 97-37. Новосибирск, 1997.

В.С. Белкин, В.Г. Соколов, Ю.С. Храмов

Томографическое восстановление электронной температуры плазмы по излучению линии H_{α} на установке АМБАЛ-М

V.S. Belkin, V.G. Sokolov, Yu.S. Khramov

Tomography reconstruction of electron temperature by H_{α} intensity measurement on the AMBAL-M machine

ИЯФ 98-35

Ответственный за выпуск А.М. Кудрявцев
Работа поступила 29.04. 1998 г.

Сдано в набор 4.05.1998 г.

Подписано в печать 4.05.1998 г.

Формат бумаги 60×90 1/16 Объем 1.0 печ.л., 0.8 уч.-изд.л.

Тираж 110 экз. Бесплатно. Заказ № 35

Обработано на IBM PC и отпечатано на
ротапринте ИЯФ им. Г.И. Будкера СО РАН,
Новосибирск, 630090, пр. академика Лаврентьева, 11.